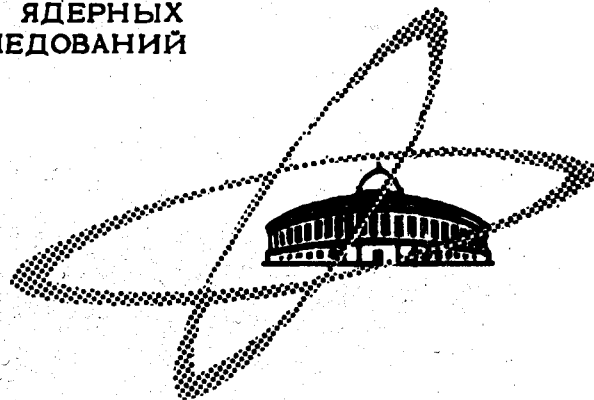


A-382

ОБЪЕДИНЕННЫЙ  
ИНСТИТУТ  
ЯДЕРНЫХ  
ИССЛЕДОВАНИЙ

Дубна.

P7-4772



Г.Н.Акапьев, В.А.Друин, В.И.Рудь, Г.Я.Сун-Цзин-Ян

О РОЛИ  $\alpha$ -РАДИОАКТИВНОГО ФОНА  
ПРИ ИЗУЧЕНИИ  $\alpha$ -РАСПАДА ЭЛЕМЕНТА 104

P7-4772

Г.Н.Акапьев, В.А.Друин, В.И.Рудь, Г.Я.Сун-Цзин-Ян

О РОЛИ  $\alpha$ -РАДИОАКТИВНОГО ФОНА  
ПРИ ИЗУЧЕНИИ  $\alpha$ -РАСПАДА ЭЛЕМЕНТА 104 \*

Направлено в ЯФ

\* См. работу <sup>1/</sup>

/2,3/

В 1956-1957 гг. Г.Н. Флеров и др., проводя опыты по синтезу и изучению  $\alpha$ -распада трансурановых элементов на циклотроне много-зарядных ионов, обратили внимание на возникновение большого числа фоновых  $\alpha$ -излучателей в области полония - радия, свойства которых были близки к ожидаемым свойствам элементов в трансменделевиевой области. В частности, были обнаружены  $\alpha$ -излучатели с энергией  $\alpha$ -частиц 8,87 и 11,65 Мэв, которые позже были идентифицированы как изомеры полония  $^{211m}\text{Po}$  ( $T_{1/2} = 25$  сек) и  $^{212m}\text{Po}$  ( $T_{1/2} = 45$  сек) /4/.

Выяснилось, что источником фона являются микропримеси висмута, свинца и ртути в веществе мишени. Сечения образования некоторых фоновых изотопов на свинце под действием ионов углерода, кислорода, или неона в сотни тысяч и более раз превышают сечения образования трансменделевиевых элементов. Поэтому были разработаны методы тщательной очистки вещества мишени (плутония, америция) от микропримесей  $\text{Bi}$ ,  $\text{Pb}$ ,  $\text{Hg}$  и др. В дальнейшем это позволило успешно провести опыты по синтезу и изучению  $\alpha$ -радиоактивных свойств многих изотопов элементов 102 и 103 /5,6,7/.

/1/

Недавно были опубликованы результаты работы Гиорсо и др. по получению  $\alpha$ -радиоактивных изотопов элемента 104, курчатовия, ранее синтезированного в Дубне /8,9/. В этих экспериментах мишень из  $^{249}\text{Cf}$  облучалась ускоренными ионами  $^{12}\text{C}$  и  $^{13}\text{C}$ . По-ви-

димому, наиболее тщательно изучалась ядерная реакция  $^{249}\text{Cf}(\text{C}, \text{n})^{257}\text{Cl}$ , для которой приводятся как спектры первичных  $\alpha$ -частиц, так и результаты измерений распределения на вторичных сборниках генетически связанного изотопа  $^{253}\text{Ra}^{102}$  (так называемые эксперименты "мать-дочь").

При рассмотрении первичных спектров  $\alpha$ -частиц, зарегистрированных всеми четырьмя детекторами, использованными в опытах <sup>1/</sup>, обращает на себя внимание очень интенсивная линия с энергией 7,136 Мэв ( $^{214}\text{Ra}$ ). На рис. 1 верхний спектр представляет собой результат облучения  $^{249}\text{Cf}$  ионами  $^{12}\text{C}$ , зарегистрированный первым детектором <sup>1/</sup>. Интенсивность линии 7,136 Мэв примерно в 5000 раз превосходит интенсивность всех  $\alpha$ -линий, приписанных изотопу  $^{257}\text{Ra}^{104}$ .

Очевидно, что появление  $^{214}\text{Ra}$  (7,136 Мэв) в продуктах ядерных реакций обусловлено наличием свинца в калифорниевой мишени. Изотоп  $^{214}\text{Ra}$  образуется в результате ядерной реакции  $^{208}\text{Pb}(\text{C}, \text{n})^{214}\text{Ra}$  или за счет реакций на других изотопах свинца при испарении меньшего числа нейtronов. Ту же самую природу имеют и изотопы радона с массовыми числами 209, 210 и 212,  $\alpha$ -линии от распада которых в большом количестве присутствуют на первичных  $\alpha$ -спектрах. Авторы <sup>1/</sup> вообще не обсуждают вопроса о фоне от свинца и не приводят  $\alpha$ -спектров при облучении Рb ионами  $^{12}\text{C}$ .

Чтобы проверить, какова возможная величина вклада в первичные  $\alpha$ -спектры <sup>1/</sup> от примесей свинца в мишени, мы провели облучение мишени из естественного свинца ионами углерода с той же энергией (71 Мэв) в условиях эксперимента, близких к условиям работы <sup>1/</sup>.

Схема установки, использованной в наших экспериментах, изображена на рис. 2. Свинцовая мишень толщиной  $1,5 \text{ mg} \cdot \text{cm}^{-2}$  облучалась на выведенном пучке 310-сантиметрового циклотрона ОИЯИ. Наша аппаратура, как и аппаратура Гиорсо и др. <sup>1/</sup>, основана на использовании метода Макферлана <sup>10/</sup>. Атомы отдачи тормозились в газе (смесь гелия).

и азота) и выносились потоком газа из рабочей камеры через малое отверстие в непрерывно откачиваемый объем, в котором находились колесо-сборник диаметром 240 мм и  $\alpha$ -детекторы. Сборник помещался на пути газовой струи. В качестве детекторов  $\alpha$ -частиц использовались два поверхностно-барьерных кремниевых счетчика, расположенные под углами  $\approx 90^\circ$  и  $\approx 180^\circ$  относительно направления газовой струи. Перенос ядер - продуктов реакций осуществлялся поворотом колеса на  $88^\circ 48'$  за время  $\approx 0,2$  сек. Выбранный угол поворота обеспечивал исключение накопления долгоживущих  $\alpha$ -активностей на ободе колеса-сборника. Время "накопление-измерение" варьировалось с помощью блока автоматики. Возможность проведения временного анализа  $\alpha$ -спектра обеспечивалась разбиением времени измерения для каждого детектора на 4 интервала. Амплитудно-временной анализ импульсов с детекторов осуществлялся с помощью анализатора АИ-4096.

На рис. 1 внизу показан  $\alpha$ -спектр, полученный нами на первом детекторе в режиме непрерывного облучения свинцовой мишени ионами  $^{12}\text{C}$  с энергией 71 Мэв и для времени "накопление-измерение", равного 3,2 сек.

Из сравнения наших  $\alpha$ -спектров, полученных при облучении  $\text{Pb} + ^{12}\text{C}$ , и  $\alpha$ -спектров, полученных группой Гиорсо<sup>1/1</sup> при облучении  $^{249}\text{Cf} + ^{12}\text{C}$ , видно, что примеси свинца в калифорнийской мишени ответственны за некоторые интенсивные линии в спектре. Наблюдаемое соотношение между интенсивностями этих линий, естественно, зависит не только от энергии ионов  $^{12}\text{C}$ , но и от особенностей работы экспериментальной установки. К сожалению, в работе Гиорсо и др.<sup>1/1</sup> не приводятся данные по изучению реакции  $\text{Pb} + ^{12}\text{C}$  в тех же условиях, что и  $^{249}\text{Cf} + ^{12}\text{C}$ , хотя необходимость такого фонового опыта совершенно очевидна.

Вызывает также удивление, что некоторые хорошо известные активности в экспериментах Гиорсо и др. /1/ ведут себя не свойственным им образом. Анализ спектров, измеренных четырьмя детекторами, показывает, что, например, активность с  $E_a = 6,043$  Мэв, принадлежащая изотопам радона  $^{209}\text{Rn}$  ( $T_{1/2} = 30$  мин) и  $^{210}\text{Rn}$  ( $T_{1/2} = 2,4$  часа), распадается с периодом  $\approx 2,5$  сек. То же относится и к многим другим хорошо известным  $\alpha$ -линиям, приписанным авторами /1/ различным изотопам в трансурановой области. В частности,  $^{250}\text{Fm}$  ( $T_{1/2} = 30$  мин,  $E_a = 7,43$  Мэв)\* распадается с  $T_{1/2} \approx 4$  сек. Относительно линии  $^{211\text{m}}\text{Po}$  ( $T_{1/2} = 25$  сек), авторы утверждают, что ее природа неизвестна. Вероятно, это утверждение основано на том, что их временной анализ указывает на наличие приблизительно трехсекундного периода полураспада.

Все изложенное заставляет, с одной стороны, сомневаться в правильности идентификации ряда изотопов трансурановых элементов, таких, как  $^{246}\text{Cf}$ ,  $^{250}\text{Fm}$ ,  $^{254}$ ,  $^{255}$ ,  $^{256}$  102, поскольку не учтен фон от продуктов, образующихся на примесях свинца. Во всяком случае при сопоставлении свинцового и калифорнийского спектров можно утверждать, что не только этим изотопам принадлежат указанные в спектре  $\alpha$ -линии /1/. С другой стороны, возникают сомнения и в правильности измерения периодов полураспада для тех изотопов, которые действительно могут образовываться в ядерных реакциях  $^{249}\text{Cf} + ^{12}\text{C}$ , таких, как  $^{258}$  103 или  $^{257}$  104, так как для хорошо известных изотопов  $^{209}$ ,  $^{210}\text{Rn}$  и  $^{211\text{m}}\text{Po}$  периоды полураспада определены неверно.

Создается впечатление, что "3 секунды" есть некоторая характерная величина, определяемая конструкцией и геометрией установки. Опыт показывает, что коэффициент сбора атомов отдачи даже в оптимальных условиях не достигает 100%. Как правило, примерно половина продуктов ядерных реакций не сорбируется на поверхности сборника, а уносится

потоком газа. Вероятность проникновения струи газа, имеющей звуковую скорость, в область детекторов велика, и замечание авторов /1/ относительно "неизвестного механизма передачи" продуктов реакций на поверхность детекторов, по-видимому, просто означает перенос этих продуктов газовым потоком к детекторам  $\alpha$ -излучения.

Мы также провели опыт с неподвижным колесом-сборником. Несмотря на то, что наши детекторы находились сравнительно далеко от места входа газовой струи, мы наблюдали заметную  $\alpha$ -активность практически того же самого спектра, как и при подвижном сборнике.

В экспериментах "мать-дочь", когда авторы /1/ регистрировали на-  
копление  $^{253}\text{Ku}$   $^{102}$  на поверхности детекторов, тот же самый механизм "просачивания" газа мог привести к искажению распределения  $^{253}\text{Ku}$   $^{102}$ .  
по четырем детекторам из-за проникновения прямого продукта ядерной  
реакции  $^{249}\text{Cf}(\text{<sup>12</sup>C}, \alpha 4n) ^{253}\text{Ku}$ . Мы уже видели, что для долгожи-  
вущих изотопов радона, фермия и полония получено "эффективное" значе-  
ние периода полураспада 3–5 сек. Поэтому говорить о периодах полурас-  
пада  $^{257}\text{Ku}$  ( $\approx 4,5$  сек) и  $^{259}\text{Ku}$  ( $\approx 3$  сек) кажется преждевремен-  
ным без проведения ряда контрольных опытов.

Экспериментальные данные /1/ не исключают и возможности того,  
что времена жизни  $^{257}\text{Ku}$  и  $^{259}\text{Ku}$  короче, поскольку, по указа-  
нию авторов, на первом детекторе имеется большой избыток дочерних  
атомов  $^{253}\text{Ku}$  и  $^{255}\text{Ku}$   $^{102}$ . Этот избыток может быть обусловлен  $\alpha$ -  
распадом короткоживущих изотопов курчатовия, в то время как экспо-  
нента 3–5 сек объясняется "просачиванием" первичных продуктов ядер-  
ных реакций типа  $^{249}\text{Cf}(\text{<sup>12</sup>C}, \alpha 4n) ^{102}$ .

Естественно, нам трудно указать действительную причину ошибок в интерпретации некоторых экспериментальных данных, не зная специфи-  
ки работы в Беркли. Детальный критический анализ и проверку своих  
результатов могут сделать только сами авторы.

В заключение авторы выражают свою искреннюю благодарность академику Г.Н. Флерову за постоянный интерес к работе, А.Г. Демину и Ю.В. Лобанову за полезные дискуссии, а также Л.П. Челнокову, А.С. Трофимову, Ю.П. Харитонову и В.И. Крашонкину за помощь в подготовке аппаратуры и проведении опытов.

### Л и т е р а т у р а

1. A.Ghiorso, M.Nurmia, J.Harris, K.Eskola, P.Eskola. Phys. Rev. Lett., 22, 1316 (1969).
2. Г.Н. Флеров, С.М. Поликанов, А.С. Карапян и др. ДАН, 120, 73 (1958).
3. Г.Н. Флеров, С.М. Поликанов, А.С. Карапян и др. ЖЭТФ, 38, 82 (1960).
4. I.Perlmutter, F.Asaro, A.Ghiorso, A.E.Larsh, R.Latimer. Phys. Rev., 127, 918 (1962).
5. Г.Н. Флеров. Атомная энергия, 24, 5 (1968).
6. Е.Д. Донец, В.А. Друин, В.Л. Михеев. Атомная энергия, 25, 87 (1968).
7. В.А. Друин. Препринт ОИЯИ, Р7-4755, Дубна, 1968.
8. Г.Н. Флеров, Ю.Ц. Оганесян, Ю.В. Лобанов и др. Атомная энергия, 17, 310 (1964).
9. И. Звара, Ю.Т. Чубурков, Р. Цалетка, М.Р. Шалаевский. Препринт ОИЯИ, Р7-3783, Дубна, 1968.
10. R.Macfarlane, R.Griffioen. Nucl.Instr. and Methods, 24, 461 (1963).

Рукопись поступила в издательский отдел

4 ноября 1969 года.

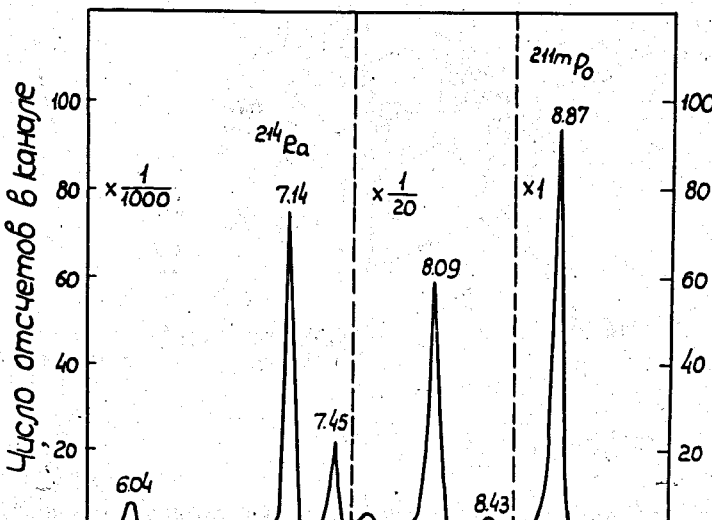
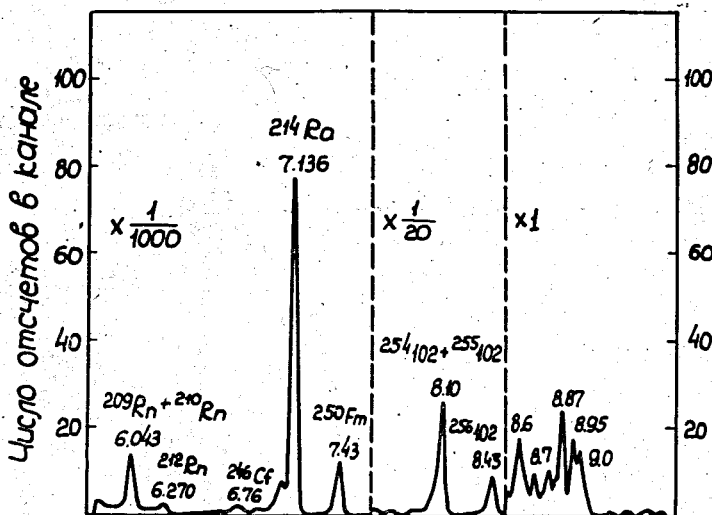


Рис.1. Альфа-спектры, полученные при облучении <sup>244</sup>Cf (верхний спектр) и естественного Pb (нижний спектр) ионами <sup>12</sup>C энергии 71 Мэв.

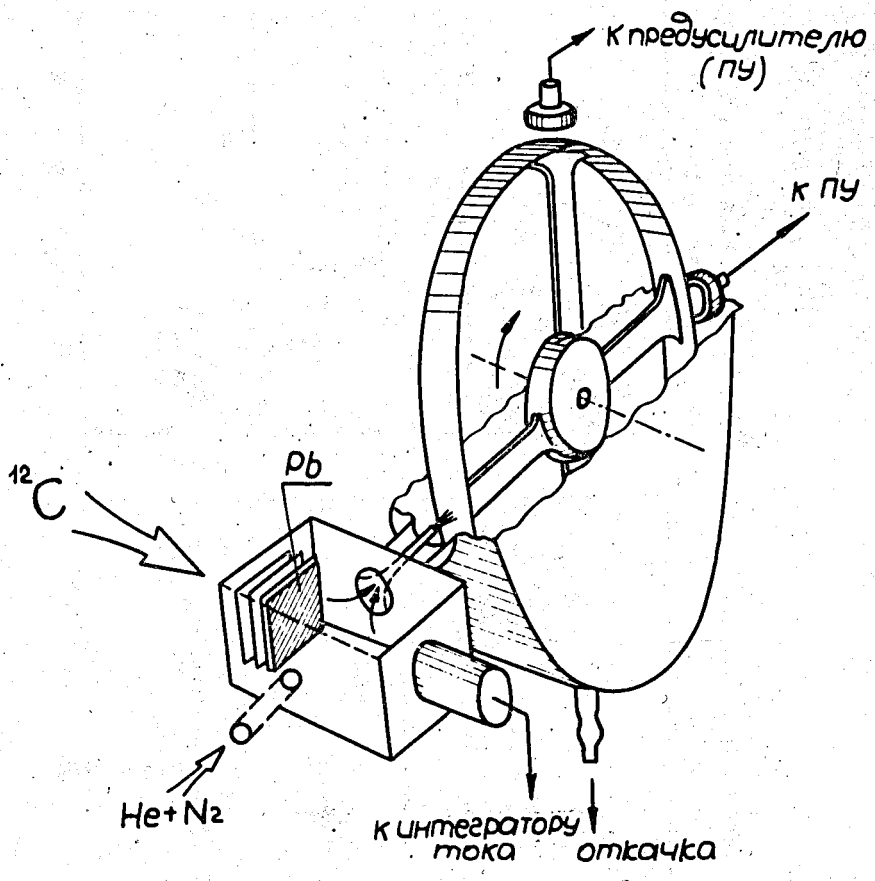


Рис.2. Схема экспериментальной установки для изучения продуктов ядерной реакции  $Pb + ^{12}C$ .